

Numerical Methods of Electromagnetic Field Theory II (NFT II) Numerische Methoden der Elektromagnetischen Feldtheorie II (NFT II) /

4th Lecture / 4. Vorlesung

Dr.-Ing. René Marklein

marklein@uni-kassel.de

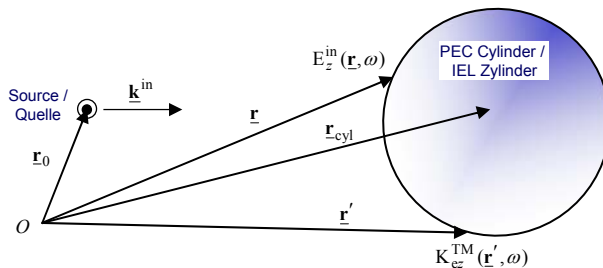
<http://www.tet.e-technik.uni-kassel.de>

<http://www.uni-kassel.de/fb16/tet/marklein/index.html>

Universität Kassel
Fachbereich Elektrotechnik / Informatik
(FB 16)
Fachgebiet Theoretische Elektrotechnik
(FG TET)
Wilhelmshöher Allee 71
Büro: Raum 2113 / 2115
D-34121 Kassel

University of Kassel
Dept. Electrical Engineering / Computer Science
(FB 16)
Electromagnetic Field Theory
(FG TET)
Wilhelmshöher Allee 71
Office: Room 2113 / 2115
D-34121 Kassel

EM Scattering by a Perfectly Electrically Conducting Cylinder: EFIE Discretized in the 2-D TM Case with Pulse Basis and Delta Testing Functions / EM-Streuung an einem ideal elektrisch leitendem Zylinder: EFIE diskretisiert im 2D-TM-Fall mit Impuls-Basisfunktionen und Delta-Testfunktionen



2-D Case /
2D-Fall

$$\mathbf{R} = \underbrace{r\mathbf{e}_r(\varphi)}_{=\mathbf{r}} + \underbrace{z\mathbf{e}_z(\varphi)}_{=0}$$

$$= \mathbf{r}$$

2-D PEC TM EFIE / 2D-IEL-TM-EFIE

$$-j\omega\mu_0 \oint_{\mathbf{r}' \in C_{sc} = \partial S_{sc}} K_{ez}^{TM}(\mathbf{r}', \omega) G(\mathbf{r} - \mathbf{r}', \omega) d\mathbf{r}' = E_z^{in}(\mathbf{r}, \omega), \quad \mathbf{r} \in C_{sc}$$

This is a *Fredholm integral equation of the 1. kind* in form of a *closed line integral* for the *unknown* electric surface current density for a *known* incident field. /
Dies ist eine *Fredholmsche Integralgleichung 1. Art* in Form eines *geschlossenen Linienintegrals* für die *unbekannte* elektrische Flächenladungsdichte für ein *bekanntes* einfallendes Feld.

$$G(\mathbf{r} - \mathbf{r}', \omega) = \frac{j}{4} H_0^{(1)}(k_0 |\mathbf{r} - \mathbf{r}'|)$$

EM Scattering by a Perfectly Electrically Conducting Cylinder: EFIE Discretized in the 2-D TM Case with Pulse Basis and Delta Testing Functions / EM-Streuung an einem ideal elektrisch leitendem Zylinder: EFIE diskretisiert im 2D-TM-Fall mit Impuls-Basisfunktionen und Delta-Testfunktionen

2-D PEC TM EFIE / 2D-IEL-TM-EFIE

$$-j\omega\mu_0 \oint_{\mathbf{r}' \in C_{sc} = \partial S_{sc}} \mathbf{K}_{ez}^{TM}(\mathbf{r}', \omega) G(\mathbf{r} - \mathbf{r}', \omega) d\mathbf{r}' = E_z^{in}(\mathbf{r}, \omega), \quad \mathbf{r} \in C_{sc}$$

↓ Discretization via MoM /
Diskretisierung durch MoM

Matrix Equation / Matrixgleichung

$$\underbrace{[Z]}_{=V/A}(\omega) \underbrace{\{K_{ez}^{TM}\}}_{=A/m}(\omega) = \underbrace{\{E_z^{in}\}}_{=V/m}(\omega)$$

Impedance Matrix / Impedanzmatrix Electric Surface Current Density Vector / Elektrischer Flächenstromdichtevektor Electric Field Strength Vector / Elektrischer Feldstärkevektor

EM Scattering by a Perfectly Electrically Conducting Cylinder: EFIE Discretized in the 2-D TM Case with Pulse Basis and Delta Testing Functions / EM-Streuung an einem ideal elektrisch leitendem Zylinder: EFIE diskretisiert im 2D-TM-Fall mit Impuls-Basisfunktionen und Delta-Testfunktionen

2-D PEC TM EFIE / 2D-IEL-TM-EFIE

$$-j\omega\mu_0 \oint_{\mathbf{r}' \in C_{sc} = \partial S_{sc}} \mathbf{K}_{ez}^{TM}(\mathbf{r}', \omega) G(\mathbf{r} - \mathbf{r}', \omega) d\mathbf{r}' = E_z^{in}(\mathbf{r}, \omega), \quad \mathbf{r} \in C_{sc}$$

↓ Discretization via MoM /
Diskretisierung durch MoM

Matrix Equation / Matrixgleichung

$$\underbrace{[Z]}_{=V/A}(\omega) \underbrace{\{K_{ez}^{TM}\}}_{=A/m}(\omega) = \underbrace{\{E_z^{in}\}}_{=V/m}(\omega)$$

Problem: Large Impedance Matrix /
Problem: Große Impedanzmatrix !

↓ Iterative Solution via Conjugate Gradient (CG) Method /
Iterative Lösung durch Konjugierte Gradienten (KG) Methode

Solution of the Matrix Equation / Lösung der Matrixgleichung

$$\underbrace{\{K_{ez}^{TM}\}}_{=A/m}(\omega) = \underbrace{[Z]^{-1}}_{=A/V}(\omega) \underbrace{\{E_z^{in}\}}_{=V/m}(\omega)$$

EM Scattering by a Perfectly Electrically Conducting Cylinder: EFIE Discretized in the 2-D TM Case with Pulse Basis and Delta Testing Functions / EM-Streuung an einem ideal elektrisch leitendem Zylinder: EFIE diskretisiert im 2D-TM-Fall mit Impuls-Basisfunktionen und Delta-Testfunktionen

2-D PEC TM EFIE / 2D-IEL-TM-EFIE

$$-j\omega\mu_0 \oint_{\mathbf{r}' \in C_{sc} = \partial S_{sc}} \mathbf{K}_{ez}^{\text{TM}}(\mathbf{r}', \omega) G(\mathbf{r} - \mathbf{r}', \omega) d\mathbf{r}' = E_z^{\text{in}}(\mathbf{r}, \omega), \quad \mathbf{r} \in C_{sc}$$

↓ Discretization via MoM /
Diskretisierung durch MoM

Matrix Equation / Matrixgleichung

$$[Z](\omega) \{ \mathbf{K}_{ez}^{\text{TM}} \}(\omega) = \{ E_z^{\text{in}} \}(\omega)$$

$$\begin{bmatrix} Z_{11}(\omega) & Z_{12}(\omega) & \dots & Z_{1N}(\omega) \\ Z_{21}(\omega) & Z_{22}(\omega) & \dots & Z_{2N}(\omega) \\ \vdots & \vdots & \ddots & \vdots \\ Z_{N1}(\omega) & Z_{N2}(\omega) & \dots & Z_{NN}(\omega) \end{bmatrix}_{N \times N} \begin{Bmatrix} \mathbf{K}_{ez1}^{\text{TM}}(\omega) \\ \mathbf{K}_{ez2}^{\text{TM}}(\omega) \\ \vdots \\ \mathbf{K}_{ezN}^{\text{TM}}(\omega) \end{Bmatrix}_N = \begin{Bmatrix} E_{z1}^{\text{in}}(\omega) \\ E_{z2}^{\text{in}}(\omega) \\ \vdots \\ E_{zN}^{\text{in}}(\omega) \end{Bmatrix}_N$$

Complex Symmetric N X N Matrix /
Komplexe symmetrische N X N Matrix

EM Scattering by a Perfectly Electrically Conducting Cylinder: EFIE Discretized in the 2-D TM Case with Pulse Basis and Delta Testing Functions / EM-Streuung an einem ideal elektrisch leitendem Zylinder: EFIE diskretisiert im 2D-TM-Fall mit Impuls-Basisfunktionen und Delta-Testfunktionen

2-D PEC TM EFIE / 2D-IEL-TM-EFIE

$$-j\omega\mu_0 \oint_{\mathbf{r}' \in C_{sc} = \partial S_{sc}} \mathbf{K}_{ez}^{\text{TM}}(\mathbf{r}', \omega) G(\mathbf{r} - \mathbf{r}', \omega) d\mathbf{r}' = E_z^{\text{in}}(\mathbf{r}, \omega), \quad \mathbf{r} \in C_{sc}$$

$$\begin{bmatrix} Z_{11}(\omega) & Z_{12}(\omega) & \dots & Z_{1N}(\omega) \\ Z_{21}(\omega) & Z_{22}(\omega) & \dots & Z_{2N}(\omega) \\ \vdots & \vdots & \ddots & \vdots \\ Z_{N1}(\omega) & Z_{N2}(\omega) & \dots & Z_{NN}(\omega) \end{bmatrix}_{N \times N} \begin{Bmatrix} \mathbf{K}_{ez1}^{\text{TM}}(\omega) \\ \mathbf{K}_{ez2}^{\text{TM}}(\omega) \\ \vdots \\ \mathbf{K}_{ezN}^{\text{TM}}(\omega) \end{Bmatrix}_N = \begin{Bmatrix} E_{z1}^{\text{in}}(\omega) \\ E_{z2}^{\text{in}}(\omega) \\ \vdots \\ E_{zN}^{\text{in}}(\omega) \end{Bmatrix}_N$$

$$\begin{aligned} E_z^{\text{in}}(\mathbf{r}, \omega) &\Rightarrow E_{zm}^{\text{in}}(\omega) \quad m = 1, \dots, N \\ \mathbf{K}_{ez}^{\text{TM}}(\mathbf{r}', \omega) &\Rightarrow \mathbf{K}_{ezn}^{\text{TM}}(\omega) \quad n = 1, \dots, N \\ -j\omega\mu_0 \oint_{\mathbf{r}' \in C_{sc} = \partial S_{sc}} (\bullet) G(\mathbf{r} - \mathbf{r}', \omega) d\mathbf{r}' &\Rightarrow Z_{mn}(\omega) \quad m, n = 1, \dots, N \end{aligned}$$

EM Scattering by a Perfectly Electrically Conducting Cylinder: EFIE Discretized in the 2-D TM Case with Pulse Basis and Delta Testing Functions / EM-Streuung an einem ideal elektrisch leitendem Zylinder: EFIE diskretisiert im 2D-TM-Fall mit Impuls-Basisfunktionen und Delta-Testfunktionen

2-D PEC TM EFIE / 2D-IEL-TM-EFIE

$$-j\omega\mu_0 \oint_{\mathbf{r}' \in C_{sc} = \partial S_{sc}} K_{ez}^{TM}(\mathbf{r}', \omega) G(\mathbf{r} - \mathbf{r}', \omega) d\mathbf{r}' = E_z^{in}(\mathbf{r}, \omega), \quad \mathbf{r} \in C_{sc}$$

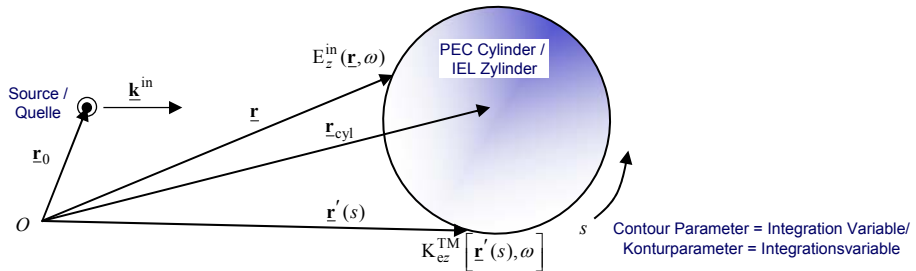
We have to Consider Two Different Cases for the Elements of the Impedance Matrix /
Man unterscheidet zwei Verschiedene Fälle für die Elemente der Impedanzmatrix

$$\begin{bmatrix} Z_{11}(\omega) & Z_{12}(\omega) & \dots & Z_{1N}(\omega) \\ Z_{21}(\omega) & Z_{22}(\omega) & \dots & Z_{2N}(\omega) \\ \vdots & \vdots & \ddots & \vdots \\ Z_{N1}(\omega) & Z_{N2}(\omega) & \dots & Z_{NN}(\omega) \end{bmatrix} \Leftrightarrow \begin{bmatrix} \bullet & \bullet & \bullet & \bullet \\ \bullet & \bullet & \bullet & \bullet \\ \bullet & \bullet & \bullet & \bullet \\ \bullet & \bullet & \bullet & \bullet \end{bmatrix}$$

● Main Diagonal Elements / Hauptdiagonalelemente
 For / Für: $\mathbf{r} = \mathbf{r}'$ (Self Cell / Eigenzelle)
● Off Diagonal Elements / Nebendiagonalelemente
 For / Für: $\mathbf{r} \neq \mathbf{r}'$

- **Main Diagonal Elements / Hauptdiagonalelemente**
 1. Flat Cell Approximation / Ebene-Zelle-Approximation
 2. Power Series Expansion of the Hankel Function for Small Arguments / Potenzreihen-Approximation der Hankel-Funktion für kleine Argumente
- **Off Diagonal Elements / Nebendiagonalelemente**
 1. Flat Cell Approximation / Ebene-Zelle-Approximation
 2. Application of the Midpoint Rule / Anwendung der Mittelpunktsregel

EM Scattering by a Perfectly Electrically Conducting Cylinder: EFIE Discretized in the 2-D TM Case with Pulse Basis and Delta Testing Functions / EM-Streuung an einem ideal elektrisch leitendem Zylinder: EFIE diskretisiert im 2D-TM-Fall mit Impuls-Basisfunktionen und Delta-Testfunktionen



$$\begin{aligned} \mathbf{r}' &\rightarrow \mathbf{r}'(s) \\ K_{ez}^{TM}(\mathbf{r}', \omega) &\rightarrow K_{ez}^{TM}[\mathbf{r}'(s), \omega] & \mathbf{r}'(s) \in C_{sc} & C_{sc} : s_b \leq s \leq s_e \\ G(\mathbf{r} - \mathbf{r}', \omega) &\rightarrow G(\mathbf{r} - \mathbf{r}'(s), \omega) \end{aligned}$$

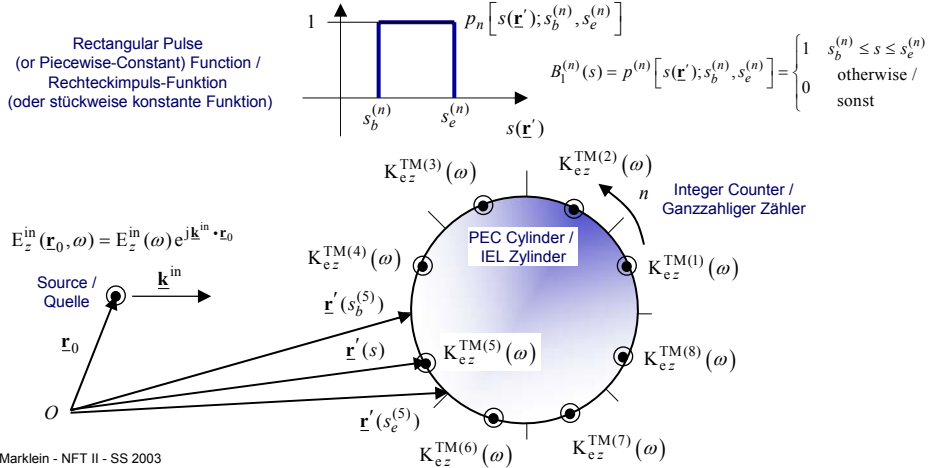
$$E_z^{in}(\mathbf{r}, \omega) = -j\omega\mu_0 \int_{s=s_b}^{s_e} G[\mathbf{r} - \mathbf{r}'(s), \omega] K_{ez}^{TM}[\mathbf{r}'(s), \omega] d\mathbf{r}'(s) \quad \mathbf{r} \in C_{sc}$$

$s_{b(eginn)}$ = Begin of Contour /
 Anfang der Kontur
 $s_{e(nd)}$ = End of Contour /
 Ende der Kontur

EM Scattering by a Perfectly Electrically Conducting Cylinder: EFIE Discretized in the 2-D TM Case with Rectangular Pulse Basis and Delta Testing Functions / EM-Streuung an einem ideal elektrisch leitendem Zylinder: EFIE diskretisiert im 2D-TM-Fall mit Rechteckimpuls-Basisfunktionen und Delta-Testfunktionen

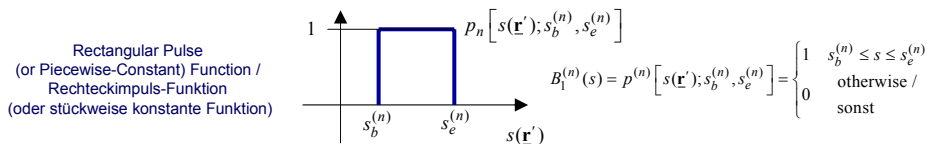
$$E_z^{\text{in}}(\mathbf{r}, \omega) = -j\omega\mu_0 \int_{s=s_b}^{s_e} G[\mathbf{r}-\mathbf{r}'(s), \omega] K_{e_z}^{\text{TM}}[\mathbf{r}'(s), \omega] d\mathbf{r}'(s) \quad \mathbf{r} \in C_{\text{sc}}$$

Basis Function Expansion using Rectangular Pulse Basis / Basisfunktionsentwicklung mit Rechteckimpulsfunktionen



EM Scattering by a Perfectly Electrically Conducting Cylinder: EFIE Discretized in the 2-D TM Case with Rectangular Pulse Basis and Delta Testing Functions / EM-Streuung an einem ideal elektrisch leitendem Zylinder: EFIE diskretisiert im 2D-TM-Fall mit Rechteckimpuls-Basisfunktionen und Delta-Testfunktionen

Basis Function Expansion using Rectangular Pulse Basis / Basisfunktionsentwicklung mit Rechteckimpulsfunktionen



Pulse Basis Expansion of / Pulsbasisentwicklung von $K_{e_z}^{\text{TM}}[\mathbf{r}'(s), \omega]$ \Rightarrow $K_{e_z}^{\text{TM}}[\mathbf{r}'(s), \omega] \approx \sum_{n=1}^N K_{e_z}^{\text{TM}(n)}(\omega) p^{(n)}[s(\mathbf{r}'); s_b^{(n)}, s_e^{(n)}]$

$$E_z^{\text{in}}(\mathbf{r}, \omega) = -j\omega\mu_0 \int_{s=s_b}^{s_e} G[\mathbf{r}-\mathbf{r}'(s), \omega] K_{e_z}^{\text{TM}}[\mathbf{r}'(s), \omega] d\mathbf{r}'(s) \quad \mathbf{r} \in C_{\text{sc}}$$

$$\approx -j\omega\mu_0 \sum_{n=1}^N K_{e_z}^{\text{TM}(n)}(\omega) \int_{s=s_b}^{s_e} G[\mathbf{r}-\mathbf{r}'(s), \omega] p^{(n)}[s(\mathbf{r}'); s_b^{(n)}, s_e^{(n)}] d\mathbf{r}'(s) \quad \mathbf{r} \in C_{\text{sc}}$$

$$\approx -j\omega\mu_0 \sum_{n=1}^N K_{e_z}^{\text{TM}(n)}(\omega) \int_{s=s_b^{(n)}}^{s_e^{(n)}} G[\mathbf{r}-\mathbf{r}'(s), \omega] d\mathbf{r}'(s)$$

The Rectangular Pulse Function Works like a Filter Function / Die Rechteckimpuls-Funktion arbeitet wie eine Filterfunktion

EM Scattering by a Perfectly Electrically Conducting Cylinder: EFIE Discretized in the 2-D TM Case with Pulse Basis and Delta Testing Functions / EM-Streuung an einem ideal elektrisch leitendem Zylinder: EFIE diskretisiert im 2D-TM-Fall mit Impuls-Basisfunktionen und Delta-Testfunktionen

$$E_z^{\text{in}}(\mathbf{r}, \omega) \approx -j\omega\mu_0 \sum_{n=1}^N K_{ez}^{\text{TM}(n)}(\omega) \int_{s=s_b^{(n)}}^{s_c^{(n)}} G[\mathbf{r}-\mathbf{r}'(s), \omega] d\mathbf{r}'(s)$$

$$G[\mathbf{r}-\mathbf{r}'(s), \omega] = \frac{j}{4} H_0^{(1)}[k_0 |\mathbf{r}-\mathbf{r}'(s)|]$$

$$E_z^{\text{in}}(\mathbf{r}, \omega) \approx -j\omega\mu_0 \sum_{n=1}^N K_{ez}^{\text{TM}(n)}(\omega) \int_{s=s_b^{(n)}}^{s_c^{(n)}} \frac{j}{4} H_0^{(1)}[k_0 |\mathbf{r}-\mathbf{r}'(s)|] d\mathbf{r}'(s)$$

$$\approx \frac{\omega\mu_0}{4} \sum_{n=1}^N K_{ez}^{\text{TM}(n)}(\omega) \int_{s=s_b^{(n)}}^{s_c^{(n)}} H_0^{(1)}[k_0 |\mathbf{r}-\mathbf{r}'(s)|] d\mathbf{r}'(s)$$

EM Scattering by a Perfectly Electrically Conducting Cylinder: EFIE Discretized in the 2-D TM Case with Pulse Basis and Delta Testing Functions / EM-Streuung an einem ideal elektrisch leitendem Zylinder: EFIE diskretisiert im 2D-TM-Fall mit Impuls-Basisfunktionen und Delta-Testfunktionen

$$E_z^{\text{in}}(\mathbf{r}, \omega) \approx \frac{\omega\mu_0}{4} \sum_{n=1}^N K_{ez}^{\text{TM}(n)}(\omega) \int_{s=s_b^{(n)}}^{s_c^{(n)}} H_0^{(1)}[k_0 |\mathbf{r}-\mathbf{r}'(s)|] d\mathbf{r}'(s)$$

**Testing Procedure with Delta Testing Functions /
Testprozedur mit Delta-Testfunktionen**

$$\langle w_m, \mathcal{L}\{f\} \rangle = \langle w_m, g \rangle$$

$$w_m(\mathbf{r}) = \delta(\mathbf{r}-\mathbf{r}^{(m)})$$

$$\langle w_m, E_z^{\text{in}}(\mathbf{r}, \omega) \rangle = \left\langle w_m, \frac{\omega\mu_0}{4} \sum_{n=1}^N K_{ez}^{\text{TM}(n)}(\omega) \int_{s=s_b^{(n)}}^{s_c^{(n)}} H_0^{(1)}[k_0 |\mathbf{r}-\mathbf{r}'(s)|] d\mathbf{r}'(s) \right\rangle$$

$$\langle \delta(\mathbf{r}-\mathbf{r}^{(m)}), E_z^{\text{in}}(\mathbf{r}, \omega) \rangle = \left\langle \delta(\mathbf{r}-\mathbf{r}^{(m)}), \frac{\omega\mu_0}{4} \sum_{n=1}^N K_{ez}^{\text{TM}(n)}(\omega) \int_{s=s_b^{(n)}}^{s_c^{(n)}} H_0^{(1)}[k_0 |\mathbf{r}-\mathbf{r}'(s)|] d\mathbf{r}'(s) \right\rangle$$

$$E_z^{\text{in}}(\mathbf{r}^{(m)}, \omega) = \frac{\omega\mu_0}{4} \sum_{n=1}^N K_{ez}^{\text{TM}(n)}(\omega) \int_{s=s_b^{(n)}}^{s_c^{(n)}} H_0^{(1)}[k_0 |\mathbf{r}^{(m)}-\mathbf{r}'(s)|] d\mathbf{r}'(s)$$

EM Scattering by a Perfectly Electrically Conducting Cylinder: EFIE Discretized in the 2-D TM Case with Pulse Basis and Delta Testing Functions / EM-Streuung an einem ideal elektrisch leitendem Zylinder: EFIE diskretisiert im 2D-TM-Fall mit Impuls-Basisfunktionen und Delta-Testfunktionen

$$E_z^{\text{in}}(\mathbf{r}^{(m)}, \omega) = \frac{\omega\mu_0}{4} \sum_{n=1}^N K_{ez}^{\text{TM}(n)}(\omega) \int_{s=s_b^{(n)}}^{s_e^{(n)}} H_0^{(1)}[k_0 |\mathbf{r}^{(m)} - \mathbf{r}'(s)|] d\mathbf{r}'(s)$$

$$E_{zm}^{\text{in}}(\omega) \Rightarrow E_z^{\text{in}}(\mathbf{r}, \omega) = E_z^{\text{in}}(\mathbf{r}^{(m)}, \omega) \quad m = 1, \dots, N \quad \left[\frac{\text{V}}{\text{m}} \right]$$

$$K_{ezn}^{\text{TM}}(\omega) \Rightarrow K_{ez}^{\text{TM}(n)}(\omega) = K_{ez}^{\text{TM}(n)}(\omega) \quad n = 1, \dots, N \quad \left[\frac{\text{A}}{\text{m}} \right]$$

$$Z_{mn}(\omega) \Rightarrow Z(\mathbf{r} - \mathbf{r}'(s), \omega) = \frac{\omega\mu_0}{4} \int_{s=s_b^{(n)}}^{s_e^{(n)}} H_0^{(1)}[k_0 |\mathbf{r}^{(m)} - \mathbf{r}'(s)|] d\mathbf{r}'(s) \quad m, n = 1, \dots, N \quad \left[\frac{\text{V}}{\text{A}} \right]$$

nth Element – nth Cell /
n-tes Element – n-te Zelle

$$\begin{bmatrix} Z_{11}(\omega) & Z_{12}(\omega) & \dots & Z_{1N}(\omega) \\ Z_{m1}(\omega) & Z_{mn}(\omega) & \dots & Z_{mN}(\omega) \\ \vdots & \vdots & \ddots & \vdots \\ Z_{N1}(\omega) & Z_{N2}(\omega) & \dots & Z_{NN}(\omega) \end{bmatrix}_{N \times N} \begin{Bmatrix} K_{ez1}^{\text{TM}}(\omega) \\ K_{ezn}^{\text{TM}}(\omega) \\ \vdots \\ K_{ezN}^{\text{TM}}(\omega) \end{Bmatrix}_N = \begin{Bmatrix} E_{z1}^{\text{in}}(\omega) \\ E_{zm}^{\text{in}}(\omega) \\ \vdots \\ E_{zN}^{\text{in}}(\omega) \end{Bmatrix}_N$$

EM Scattering by a Perfectly Electrically Conducting Cylinder: EFIE Discretized in the 2-D TM Case with Pulse Basis and Delta Testing Functions / EM-Streuung an einem ideal elektrisch leitendem Zylinder: EFIE diskretisiert im 2D-TM-Fall mit Impuls-Basisfunktionen und Delta-Testfunktionen

$$\begin{bmatrix} Z_{11}(\omega) & Z_{12}(\omega) & \dots & Z_{1N}(\omega) \\ Z_{m1}(\omega) & Z_{mn}(\omega) & \dots & Z_{mN}(\omega) \\ \vdots & \vdots & \ddots & \vdots \\ Z_{N1}(\omega) & Z_{N2}(\omega) & \dots & Z_{NN}(\omega) \end{bmatrix}_{N \times N} \begin{Bmatrix} K_{ez1}^{\text{TM}}(\omega) \\ K_{ezn}^{\text{TM}}(\omega) \\ \vdots \\ K_{ezN}^{\text{TM}}(\omega) \end{Bmatrix}_N = \begin{Bmatrix} E_{z1}^{\text{in}}(\omega) \\ E_{zm}^{\text{in}}(\omega) \\ \vdots \\ E_{zN}^{\text{in}}(\omega) \end{Bmatrix}_N$$

$$Z_{mn}(\omega) = \frac{\omega\mu_0}{4} \int_{s=s_b^{(n)}}^{s_e^{(n)}} H_0^{(1)}[k_0 |\mathbf{r}^{(m)} - \mathbf{r}'(s)|] d\mathbf{r}'(s) \quad m, n = 1, \dots, N$$

where the Phase of the Hankel Function is given by /
wobei die Phase der Hankel-Funktion gegeben ist über

$$|\mathbf{r}^{(m)} - \mathbf{r}'(s)| = \sqrt{[x^{(m)} - x'(s)]^2 + [y^{(m)} - y'(s)]^2}$$

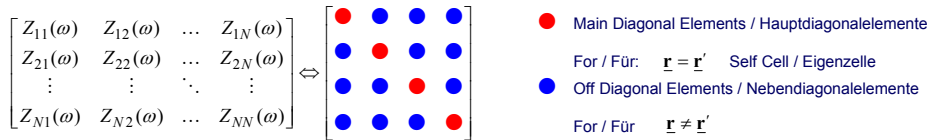
where / wobei $\mathbf{r}^{(m)}$ determines the Phase center / das Phasenzentrum angibt

The Solution of this Contour Integral cannot Formulated in a Closed Form. We have to Introduce some further Approximations. / Die Lösung dieses Konturintegrals kann nicht in einer geschlossenen Form angegeben werden. Wir müssen weitere Approximationen einführen.

EM Scattering by a Perfectly Electrically Conducting Cylinder: EFIE Discretized in the 2-D TM Case with Pulse Basis and Delta Testing Functions / EM-Streuung an einem ideal elektrisch leitendem Zylinder: EFIE diskretisiert im 2D-TM-Fall mit Impuls-Basisfunktionen und Delta-Testfunktionen

$$Z_{mn}(\omega) = \frac{\omega\mu_0}{4} \int_{s=s_b^{(n)}}^{s_c^{(n)}} H_0^{(1)} \left[k_0 \left| \underline{r}^{(m)} - \underline{r}'(s) \right| \right] d\underline{r}'(s) \quad m, n = 1, \dots, N$$

=?



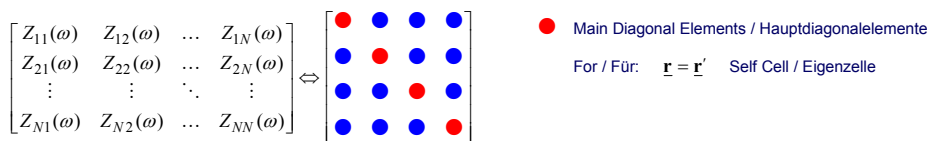
- **Main Diagonal Elements / Hauptdiagonalelemente**
 1. Flat Cell Approximation / Ebene-Zelle-Approximation
 2. Power Series Expansion of the Hankel Function for Small Arguments / Potenzreihen-Approximation der Hankel-Funktion für kleine Argumente

- **Off Diagonal Elements / Nebendiagonalelemente**
 1. Flat Cell Approximation / Ebene-Zelle-Approximation
 2. Application of the Midpoint Rule / Anwendung der Mittelpunktsregel

EM Scattering by a Perfectly Electrically Conducting Cylinder: EFIE Discretized in the 2-D TM Case with Pulse Basis and Delta Testing Functions / EM-Streuung an einem ideal elektrisch leitendem Zylinder: EFIE diskretisiert im 2D-TM-Fall mit Impuls-Basisfunktionen und Delta-Testfunktionen

$$Z_{mn}(\omega) = \frac{\omega\mu_0}{4} \int_{s=s_b^{(n)}}^{s_c^{(n)}} H_0^{(1)} \left[k_0 \left| \underline{r}^{(m)} - \underline{r}'(s) \right| \right] d\underline{r}'(s) \quad m, n = 1, \dots, N$$

=?

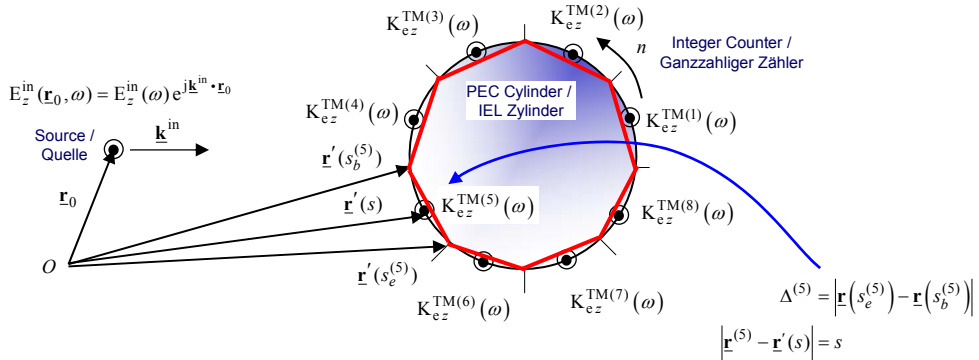


- **Main Diagonal Elements / Hauptdiagonalelemente**
 1. Flat Cell Approximation / Ebene-Zelle-Approximation
 2. Power Series Expansion of the Hankel Function for Small Arguments / Potenzreihen-Approximation der Hankel-Funktion für kleine Argumente

EM Scattering by a Perfectly Electrically Conducting Cylinder: EFIE Discretized in the 2-D TM Case with Pulse Basis and Delta Testing Functions / EM-Streuung an einem ideal elektrisch leitendem Zylinder: EFIE diskretisiert im 2D-TM-Fall mit Impuls-Basisfunktionen und Delta-Testfunktionen

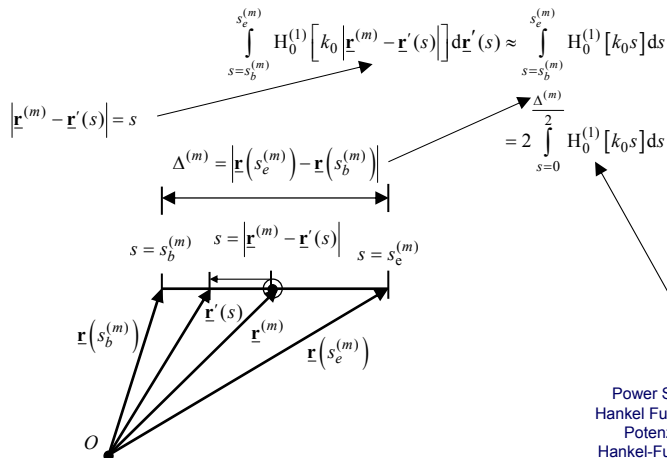
- Main Diagonal Elements / Hauptdiagonalelemente
 1. Flat Cell Approximation / Ebene-Zelle-Approximation

$$Z_{mm}(\omega) = \frac{\omega\mu_0}{4} \int_{s=s_b^{(m)}}^{s_e^{(m)}} H_0^{(1)}[k_0 |\mathbf{r}^{(m)} - \mathbf{r}'(s)|] d\mathbf{r}'(s) \quad m = 1, \dots, N$$



EM Scattering by a Perfectly Electrically Conducting Cylinder: EFIE Discretized in the 2-D TM Case with Pulse Basis and Delta Testing Functions / EM-Streuung an einem ideal elektrisch leitendem Zylinder: EFIE diskretisiert im 2D-TM-Fall mit Impuls-Basisfunktionen und Delta-Testfunktionen

- Main Diagonal Elements / Hauptdiagonalelemente
 1. Flat Cell Approximation / Ebene-Zelle-Approximation

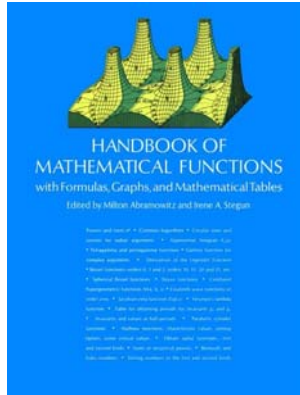


Power Series Approximation of the Hankel Function for Small Arguments z / Potenzreihenapproximation der Hankel-Funktion für kleine Argumente z

EM Scattering by a Perfectly Electrically Conducting Cylinder: EFIE Discretized in the 2-D TM Case with Pulse Basis and Delta Testing Functions / EM-Streuung an einem ideal elektrisch leitendem Zylinder: EFIE diskretisiert im 2D-TM-Fall mit Impuls-Basisfunktionen und Delta-Testfunktionen

- **Main Diagonal Elements / Hauptdiagonalelemente**
2. Power Series Expansion of the Hankel Function for Small Arguments / Potenzreihen-Approximation der Hankel-Funktion für kleine Argumente

$$H_0^{(1)}(z) = J_0(z) + jN_0(z)?$$



Milton Abramowitz, Irene A. Stegun (Editors):
Handbook of Mathematical Functions, with Formulas, Graphs, and Mathematical Tables.
p. 1046, Dover Publications, New York, 1972.

www.amazon.de

EM Scattering by a Perfectly Electrically Conducting Cylinder: EFIE Discretized in the 2-D TM Case with Pulse Basis and Delta Testing Functions / EM-Streuung an einem ideal elektrisch leitendem Zylinder: EFIE diskretisiert im 2D-TM-Fall mit Impuls-Basisfunktionen und Delta-Testfunktionen

- **Main Diagonal Elements / Hauptdiagonalelemente**
2. Power Series Expansion of the Hankel Function for Small Arguments / Potenzreihen-Approximation der Hankel-Funktion für kleine Argumente

$$H_0^{(1)}(z) = J_0(z) + jN_0(z)?$$

$$J_0(z) = 1 - \frac{1}{4}z^2 + \mathcal{O}(z^4) \quad [\text{Abramowitz \& Stegun, p. 360, Eq. 9.1.12}]$$

$$N_0(z) = \frac{2}{\pi} \left[\ln\left(\frac{z}{2}\right) + \gamma \right] J_0(z) + \frac{2}{\pi} \frac{1}{4}z^2 + \mathcal{O}(z^4) \quad [\text{Abramowitz \& Stegun, p. 360, Eq. 9.1.13}]$$

**Euler Constant /
Eulersche Konstante**

$$\gamma = 0.5772\ 15664\ 90153\ 28606\ 06512 \quad [\text{Abramowitz \& Stegun, p. 3}]$$

$$\begin{aligned} \gamma_1 &= e^\gamma \\ &= e^{0.5772\ 15664\ 90153\ 28606\ 06512} \\ &= 1.7810\ 72428\ \dots \end{aligned}$$

EM Scattering by a Perfectly Electrically Conducting Cylinder: EFIE Discretized in the 2-D TM Case with Pulse Basis and Delta Testing Functions / EM-Streuung an einem ideal elektrisch leitendem Zylinder: EFIE diskretisiert im 2D-TM-Fall mit Impuls-Basisfunktionen und Delta-Testfunktionen

- **Main Diagonal Elements / Hauptdiagonalelemente**
2. Power Series Expansion of the Hankel Function for Small Arguments / Potenzreihen-Approximation der Hankel-Funktion für kleine Argumente

$$H_0^{(1)}(z) = J_0(z) + jN_0(z)?$$

$$J_0(z) = 1 - \frac{1}{4}z^2 + \mathcal{O}(z^4)$$

$$\begin{aligned} N_0(z) &= \frac{2}{\pi} \left[\ln\left(\frac{z}{2}\right) + \gamma \right] \underbrace{J_0(z)}_{=1-\frac{1}{4}z^2} + \frac{2}{\pi} \frac{1}{4} z^2 + \mathcal{O}(z^4) \\ &= \frac{2}{\pi} \left[\ln\left(\frac{z}{2}\right) + \gamma \right] \left[1 - \frac{1}{4}z^2 \right] + \frac{2}{\pi} \frac{1}{4} z^2 + \mathcal{O}(z^4) \\ &= \frac{2}{\pi} \left\{ \ln\left(\frac{z}{2}\right) + \gamma - \frac{1}{4} \left[\ln\left(\frac{z}{2}\right) + \gamma \right] z^2 \right\} + \frac{2}{\pi} \frac{1}{4} z^2 + \mathcal{O}(z^4) \\ &= \frac{2}{\pi} \left\{ \ln\left(\frac{z}{2}\right) + \gamma - \frac{1}{4} \left[\ln\left(\frac{z}{2}\right) + \gamma - 1 \right] \right\} z^2 + \mathcal{O}(z^4) \end{aligned}$$

EM Scattering by a Perfectly Electrically Conducting Cylinder: EFIE Discretized in the 2-D TM Case with Pulse Basis and Delta Testing Functions / EM-Streuung an einem ideal elektrisch leitendem Zylinder: EFIE diskretisiert im 2D-TM-Fall mit Impuls-Basisfunktionen und Delta-Testfunktionen

- **Main Diagonal Elements / Hauptdiagonalelemente**
2. Power Series Expansion of the Hankel Function for Small Arguments / Potenzreihen-Approximation der Hankel-Funktion für kleine Argumente

$$J_0(z) = 1 - \frac{1}{4}z^2 + \mathcal{O}(z^4)$$

$$N_0(z) = \frac{2}{\pi} \left\{ \ln\left(\frac{z}{2}\right) + \gamma - \frac{1}{4} \left[\ln\left(\frac{z}{2}\right) + \gamma - 1 \right] \right\} z^2 + \mathcal{O}(z^4)$$

**Finally we find for the Power Series Approximation of the Hankel Function for Small Arguments z /
Letztendlich finden wir für die Potenzreihenapproximation der Hankel-Funktion für kleine Argumente z**

$$\begin{aligned} H_0^{(1)}(z) &= J_0(z) + jN_0(z) \\ &= 1 - \frac{1}{4}z^2 + j \frac{2}{\pi} \left\{ \ln\left(\frac{z}{2}\right) + \gamma - \frac{1}{4} \left[\ln\left(\frac{z}{2}\right) + \gamma - 1 \right] z^2 \right\} + \mathcal{O}(z^4) \\ &\approx 1 - \frac{1}{4}z^2 + j \frac{2}{\pi} \left\{ \ln\left(\frac{z}{2}\right) + \gamma - \frac{1}{4} \left[\ln\left(\frac{z}{2}\right) + \gamma - 1 \right] z^2 \right\} \\ &\approx 1 + j \frac{2}{\pi} \left[\ln\left(\frac{z}{2}\right) + \gamma \right] - \left\{ \frac{1}{4} - j \frac{1}{2\pi} \left[\ln\left(\frac{z}{2}\right) + \gamma - 1 \right] \right\} z^2 \end{aligned}$$

EM Scattering by a Perfectly Electrically Conducting Cylinder: EFIE Discretized in the 2-D TM Case with Pulse Basis and Delta Testing Functions / EM-Streuung an einem ideal elektrisch leitendem Zylinder: EFIE diskretisiert im 2D-TM-Fall mit Impuls-Basisfunktionen und Delta-Testfunktionen

- **Main Diagonal Elements / Hauptdiagonalelemente**
 1. Flat Cell Approximation / Ebene-Zelle-Approximation
 2. Power Series Expansion of the Hankel Function for Small Arguments / Potenzreihen-Approximation der Hankel-Funktion für kleine Argumente

$$\begin{aligned}
 & \int_{s=s_b^{(m)}}^{s_a^{(m)}} H_0^{(1)} \left[k_0 \left| \mathbf{r}^{(m)} - \mathbf{r}'(s) \right| \right] d\mathbf{r}'(s) \\
 & \approx 2 \int_{s=0}^{\frac{\Delta^{(m)}}{2}} H_0^{(1)} [k_0 s] ds \\
 & = 2 \int_{s=0}^{\frac{\Delta^{(m)}}{2}} \left\{ 1 + j \frac{2}{\pi} \left[\ln \left(\frac{z}{2} \right) + \gamma \right] \right\} ds \\
 & = 2 \left\{ \int_{s=0}^{\frac{\Delta^{(m)}}{2}} \left(1 + j \frac{2}{\pi} \gamma \right) ds + j \frac{2}{\pi} \int_{s=0}^{\frac{\Delta^{(m)}}{2}} \ln \left(\frac{z}{2} \right) ds \right\}
 \end{aligned}$$

$$\begin{aligned}
 H_0^{(1)}(z) & \approx 1 + j \frac{2}{\pi} \left[\ln \left(\frac{z}{2} \right) + \gamma \right] - \left\{ \frac{1}{4} - j \frac{1}{2\pi} \left[\ln \left(\frac{z}{2} \right) + \gamma - 1 \right] \right\} z^2 \\
 & \approx 1 + j \frac{2}{\pi} \left[\ln \left(\frac{z}{2} \right) + \gamma \right]
 \end{aligned}$$

EM Scattering by a Perfectly Electrically Conducting Cylinder: EFIE Discretized in the 2-D TM Case with Pulse Basis and Delta Testing Functions / EM-Streuung an einem ideal elektrisch leitendem Zylinder: EFIE diskretisiert im 2D-TM-Fall mit Impuls-Basisfunktionen und Delta-Testfunktionen

- **Main Diagonal Elements / Hauptdiagonalelemente**
 1. Flat Cell Approximation / Ebene-Zelle-Approximation
 2. Power Series Expansion of the Hankel Function for Small Arguments / Potenzreihen-Approximation der Hankel-Funktion für kleine Argumente

$$\int_{s=s_b^{(m)}}^{s_a^{(m)}} H_0^{(1)} \left[k_0 \left| \mathbf{r}^{(m)} - \mathbf{r}'(s) \right| \right] d\mathbf{r}'(s) \approx 2 \int_{s=0}^{\frac{\Delta^{(m)}}{2}} \left(1 + j \frac{2}{\pi} \gamma \right) ds + j \frac{4}{\pi} \int_{s=0}^{\frac{\Delta^{(m)}}{2}} \ln \left(\frac{z}{2} \right) ds$$

$$\begin{aligned}
 2 \int_{s=0}^{\frac{\Delta^{(m)}}{2}} \left(1 + j \frac{2}{\pi} \gamma \right) ds & = 2 \left(1 + j \frac{2}{\pi} \gamma \right) s \Big|_{s=0}^{\frac{\Delta^{(m)}}{2}} \\
 & = \Delta^{(m)} \left(1 + j \frac{2}{\pi} \gamma \right)
 \end{aligned}$$

$$\begin{aligned}
 j \frac{4}{\pi} \int_{s=0}^{\frac{\Delta^{(m)}}{2}} \ln \left(\frac{k_0 s}{2} \right) ds & = j \frac{4}{\pi} \frac{2}{k_0} \int_{\alpha=0}^{\frac{k_0 \Delta^{(m)}}{2}} \ln \alpha d\alpha \\
 & = j \frac{2}{\pi} \Delta^{(m)} \left[\ln \left(\frac{k_0 \Delta^{(m)}}{4} \right) - 1 \right]
 \end{aligned}$$

$$\int \ln |x| dx = x (\ln |x| - 1) \quad x \neq 0$$

EM Scattering by a Perfectly Electrically Conducting Cylinder: EFIE Discretized in the 2-D TM Case with Pulse Basis and Delta Testing Functions / EM-Streuung an einem ideal elektrisch leitendem Zylinder: EFIE diskretisiert im 2D-TM-Fall mit Impuls-Basisfunktionen und Delta-Testfunktionen

- **Main Diagonal Elements / Hauptdiagonalelemente**
 1. Flat Cell Approximation / Ebene-Zelle-Approximation
 2. Power Series Expansion of the Hankel Function for Small Arguments / Potenzreihen-Approximation der Hankel-Funktion für kleine Argumente

$$\int_{s=s_b^{(m)}}^{s_c^{(m)}} H_0^{(1)} \left[k_0 \left| \mathbf{r}^{(m)} - \mathbf{r}'(s) \right| \right] d\mathbf{r}'(s) \approx \Delta^{(m)} \left(1 + j \frac{2}{\pi} \gamma \right) + j \frac{2}{\pi} \Delta^{(m)} \left[\ln \left(\frac{k_0 \Delta^{(m)}}{4} \right) - 1 \right]$$

$$\approx \Delta^{(m)} \left\{ 1 + j \frac{2}{\pi} \left[\ln \left(\frac{k_0 \Delta^{(m)}}{4} \right) + \gamma - 1 \right] \right\}$$



Main Diagonal Elements of the Impedance Matrix / Hauptdiagonalelemente der Impedanzmatrix

$$Z_{mm}(\omega) \approx \frac{\omega \mu_0}{4} \Delta^{(m)} \left\{ 1 + j \frac{2}{\pi} \left[\ln \left(\frac{k_0 \Delta^{(m)}}{4} \right) + \gamma - 1 \right] \right\} \quad m = 1, \dots, N$$

EM Scattering by a Perfectly Electrically Conducting Cylinder: EFIE Discretized in the 2-D TM Case with Pulse Basis and Delta Testing Functions / EM-Streuung an einem ideal elektrisch leitendem Zylinder: EFIE diskretisiert im 2D-TM-Fall mit Impuls-Basisfunktionen und Delta-Testfunktionen

$$Z_{mn}(\omega) = \frac{\omega \mu_0}{4} \int_{s=s_b^{(n)}}^{s_c^{(n)}} H_0^{(1)} \left[k_0 \left| \mathbf{r}^{(m)} - \mathbf{r}'(s) \right| \right] d\mathbf{r}'(s) \quad m, n = 1, \dots, N$$

=?

$$\begin{bmatrix} Z_{11}(\omega) & Z_{12}(\omega) & \dots & Z_{1N}(\omega) \\ Z_{21}(\omega) & Z_{22}(\omega) & \dots & Z_{2N}(\omega) \\ \vdots & \vdots & \ddots & \vdots \\ Z_{N1}(\omega) & Z_{N2}(\omega) & \dots & Z_{NN}(\omega) \end{bmatrix} \Leftrightarrow \begin{bmatrix} \bullet & \bullet & \bullet & \bullet \\ \bullet & \bullet & \bullet & \bullet \\ \bullet & \bullet & \bullet & \bullet \\ \bullet & \bullet & \bullet & \bullet \end{bmatrix}$$

● Off Diagonal Elements / Nebendiagonalelemente

For / Für $\mathbf{r} \neq \mathbf{r}'$

- **Off Diagonal Elements / Nebendiagonalelemente**
 1. Flat Cell Approximation / Ebene-Zelle-Approximation
 2. Application of the Midpoint Rule / Anwendung der Mittelpunktsregel

EM Scattering by a Perfectly Electrically Conducting Cylinder: EFIE Discretized in the 2-D TM Case with Pulse Basis and Delta Testing Functions / EM-Streuung an einem ideal elektrisch leitendem Zylinder: EFIE diskretisiert im 2D-TM-Fall mit Impuls-Basisfunktionen und Delta-Testfunktionen

- **Off Diagonal Elements / Nebendiagonalelemente**
 1. Flat Cell Approximation / Ebene-Zelle-Approximation
 2. Application of the Midpoint Rule / Anwendung der Mittelpunktsregel

$$Z_{mn}(\omega) = \frac{\omega\mu_0}{4} \int_{s=s_b^{(n)}}^{s_e^{(n)}} H_0^{(1)} \left[k_0 \left| \mathbf{r}^{(m)} - \mathbf{r}'(s) \right| \right] d\mathbf{r}'(s) \quad m, n = 1, \dots, N$$

$$\approx \frac{\omega\mu_0}{4} H_0^{(1)} \left[k_0 \underbrace{\left| \mathbf{r}^{(m)} - \mathbf{r}^{(n)} \right|}_{=r^{(mn)}} \right] \underbrace{\left| \mathbf{r}(s_e^{(n)}) - \mathbf{r}(s_b^{(n)}) \right|}_{=\Delta^{(n)}}$$

$$\approx \frac{\omega\mu_0}{4} H_0^{(1)} \left[k_0 r^{(mn)} \right] \Delta^{(n)}$$

$\mathbf{r}^{(n)}$ Position Vector Points to the Midpoint of the nth Cell / Ortsvektor zeigt auf den Mittelpunkt der n-ten Zelle

$$\Delta^{(n)} = \left| \mathbf{r}(s_e^{(n)}) - \mathbf{r}(s_b^{(n)}) \right|$$

Approximation of the Arc Length of the nth Cell / Approximation der Bogenlänge der n-ten Zelle

$$r^{(mn)} = \left| \mathbf{r}^{(m)} - \mathbf{r}^{(n)} \right|$$

$$= \sqrt{\left[x^{(m)} - x^{(n)} \right]^2 + \left[y^{(m)} - y^{(n)} \right]^2}$$

$$\int_{s=s_b^{(n)}}^{s_e^{(n)}} d\mathbf{r}'(s) \approx \left| \mathbf{r}(s_e^{(n)}) - \mathbf{r}(s_b^{(n)}) \right|$$

$$\approx \Delta^{(n)}$$

EM Scattering by a Perfectly Electrically Conducting Cylinder: EFIE Discretized in the 2-D TM Case with Pulse Basis and Delta Testing Functions / EM-Streuung an einem ideal elektrisch leitendem Zylinder: EFIE diskretisiert im 2D-TM-Fall mit Impuls-Basisfunktionen und Delta-Testfunktionen

- **Off Diagonal Elements / Nebendiagonalelemente**
 1. Flat Cell Approximation / Ebene-Zelle-Approximation
 2. Application of the Midpoint Rule / Anwendung der Mittelpunktsregel



Off Diagonal Elements of the Impedance Matrix / Nebendiagonalelemente der Impedanzmatrix

$$Z_{mn}(\omega) \approx \frac{\omega\mu_0}{4} H_0^{(1)} \left[k_0 r^{(mn)} \right] \Delta^{(n)}$$

$$r^{(mn)} = \left| \mathbf{r}^{(m)} - \mathbf{r}^{(n)} \right|$$

$$= \sqrt{\left[x^{(m)} - x^{(n)} \right]^2 + \left[y^{(m)} - y^{(n)} \right]^2}$$

EM Scattering by a Perfectly Electrically Conducting Cylinder: EFIE Discretized in the 2-D TM Case with Pulse Basis and Delta Testing Functions / EM-Streuung an einem ideal elektrisch leitendem Zylinder: EFIE diskretisiert im 2D-TM-Fall mit Impuls-Basisfunktionen und Delta-Testfunktionen

2-D PEC TM EFIE / 2D-IEL-TM-EFIE

$$\underbrace{-j\omega\mu_0 \oint_{\mathbf{r}' \in C_{sc} = \partial S_{sc}} \mathbf{K}_{ez}^{\text{TM}}(\mathbf{r}', \omega) G(\mathbf{r} - \mathbf{r}', \omega) d\mathbf{r}'}_{= -E_z^{\text{sc}}(\mathbf{r}, \omega)} = E_z^{\text{in}}(\mathbf{r}, \omega), \quad \mathbf{r} \in C_{sc}$$

↓ Discretization via MoM / Diskretisierung durch MoM

Matrix Equation / Matrixgleichung

$$[Z](\omega) \{ \mathbf{K}_{ez}^{\text{TM}} \}(\omega) = \{ E_z^{\text{in}} \}(\omega)$$

Elements of the Impedance Matrix / Elemente der Impedanzmatrix

$$Z_{mn}(\omega) = \frac{\omega\mu_0}{4} \Delta^{(n)} \begin{cases} 1 + j\frac{2}{\pi} \left[\ln\left(\frac{k}{4}\Delta^{(n)}\right) + \gamma - 1 \right] & m = n \\ H_0^{(1)}(k r_{mn}) & m \neq n \end{cases}$$

$$\mathbf{K}_{ez}^{\text{TM}}(\omega) \Leftarrow \mathbf{K}_{ez}^{\text{TM}(n)}(\omega) \Leftarrow \mathbf{K}_{ez}^{\text{TM}}[\mathbf{r}'(s), \omega] \approx \sum_{n=1}^N \mathbf{K}_{ez}^{\text{TM}(n)}(\omega) p^{(n)}[s(\mathbf{r}'); s_b^{(n)}, s_e^{(n)}]$$

$$E_{zm}^{\text{in}}(\omega) \Leftarrow E_z^{\text{in}}(\mathbf{r}^{(m)}, \omega)$$

EM Scattering by a Perfectly Electrically Conducting Cylinder: EFIE Discretized in the 2-D TM Case with Pulse Basis and Delta Testing Functions / EM-Streuung an einem ideal elektrisch leitendem Zylinder: EFIE diskretisiert im 2D-TM-Fall mit Impuls-Basisfunktionen und Delta-Testfunktionen

Elements of the Impedance Matrix / Elemente der Impedanzmatrix

$$Z_{mn}(\omega) = \frac{\omega\mu_0}{4} \Delta^{(n)} \begin{cases} 1 + j\frac{2}{\pi} \left[\ln\left(\frac{k}{4}\Delta^{(n)}\right) + \gamma - 1 \right] & m = n \\ H_0^{(1)}(k r_{mn}) & m \neq n \end{cases}$$

Matrix Equation / Matrixgleichung

$$\underbrace{[Z]}_{=V/\Lambda}(\omega) \underbrace{\{ \mathbf{K}_{ez}^{\text{TM}} \}}_{=A/m}(\omega) = \underbrace{\{ E_z^{\text{in}} \}}_{=V/m}(\omega)$$

Problem: Large Impedance Matrix / Problem: Große Impedanzmatrix !

↓ Iterative Solution via Conjugate Gradient (CG) Method / Iterative Lösung durch Konjugierte Gradienten (KG) Methode

Solution of the Matrix Equation / Lösung der Matrixgleichung

$$\underbrace{\{ \mathbf{K}_{ez}^{\text{TM}} \}}_{=A/m}(\omega) = \underbrace{[Z]^{-1}}_{=A/V}(\omega) \underbrace{\{ E_z^{\text{in}} \}}_{=V/m}(\omega)$$

**Diffraction of an EM Plane Wave on a Circular PEC Cylinder – TM Case /
Beugung einer EM Ebenen Welle an einem kreisrunden IEL-Zylinder – TM-Fall**

Number of cells N	Magnitude of induced electric surface current density, $ K_z^{TM}(\varphi) $ for		
	$\varphi = 0$	$\varphi = \pi/2$	$\varphi = \pi$
8	0.00082611	0.00291920	0.00573690
16	0.00077377	0.00299660	0.00613630
32	0.00076747	0.00300135	0.00622450
64	0.00076414	0.00299755	0.00623880
128	0.00076188	0.00299445	0.00623820
Exact	0.00076000	0.00299300	0.00623700

8	0.00084500	0.00298300	0.00639100
16	0.00078400	0.00302000	0.00630200
32	0.00077300	0.00300900	0.00627100
64	0.00076600	0.00300100	0.00625400
128	0.00076300	0.00299700	0.00624500

Table 1: Comparison between ours (top) and published (bottom) results, having circumference of one wavelength, $C = \lambda_0 = 0.3$ m

**Diffraction of an EM Plane Wave on a Circular PEC Cylinder – TM Case /
Beugung einer EM Ebenen Welle an einem kreisrunden IEL-Zylinder – TM-Fall**

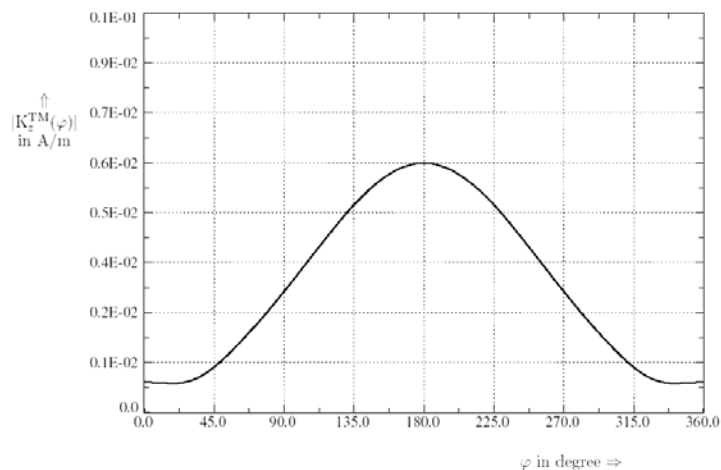


Figure 1: Magnitude of the induced electric surface current density, $|K_z^{TM}(\varphi)|$, as a function of the polar angle (φ), for 128 cells of equal size ($N = 128$)

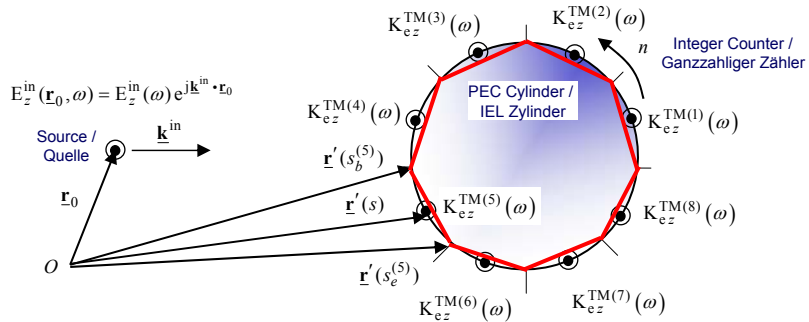
EM Scattering by a Perfectly Electrically Conducting Cylinder: EFIE Discretized in the 2-D TM Case with Pulse Basis and Delta Testing Functions / EM-Streuung an einem ideal elektrisch leitendem Zylinder: EFIE diskretisiert im 2D-TM-Fall mit Impuls-Basisfunktionen und Delta-Testfunktionen

Calculation of the Scattered Field /
Berechnung des Streufeldes

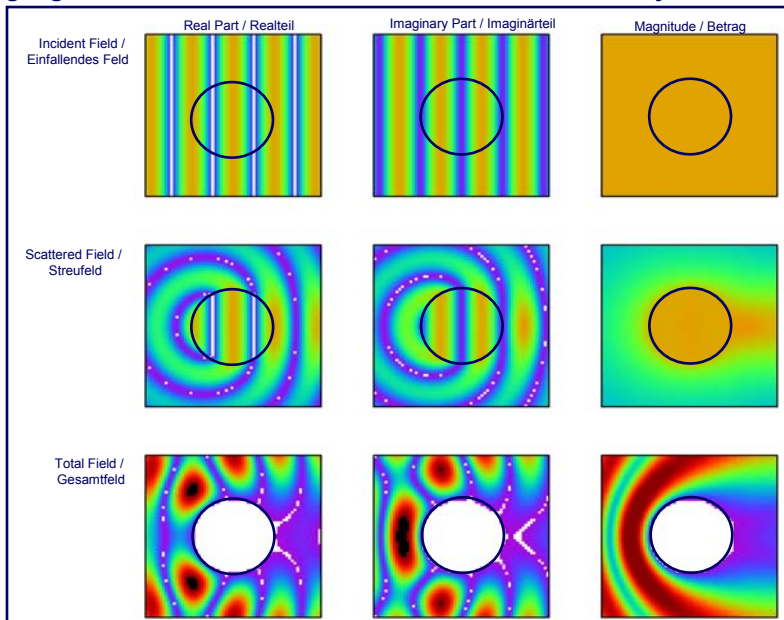
$$E_z^{sc}(\mathbf{r}, \omega) = j\omega\mu_0 \oint_{\mathbf{r}' \in C_{sc} = \partial S_{sc}} K_{ez}^{TM}(\mathbf{r}', \omega) G(\mathbf{r} - \mathbf{r}', \omega) d\mathbf{r}', \quad \mathbf{r} \in \mathbb{R}^3 \setminus \bar{C}_{sc}$$

Calculation of the Total Field /
Berechnung des Gesamtfeldes

$$E_z(\mathbf{r}, \omega) = E_z^{in}(\mathbf{r}, \omega) + E_z^{sc}(\mathbf{r}, \omega), \quad \mathbf{r} \in \mathbb{R}^3 \setminus \bar{C}_{sc}$$



Diffraction of an EM Plane Wave on a Circular PEC Cylinder – TM Case / Beugung einer EM Ebenen Welle an einem kreisrunden IEL-Zylinder – TM-Fall



**End of 4th Lecture /
Ende der 4. Vorlesung**